

BROUILLON - INÉGALITÉS ISOPÉRIMÉTRIQUES RESTREINTES À LA GÉOMÉTRIE

CHRISTOPHE BAL

Mentions « légales »

Ce document est mis à disposition selon les termes de la licence Creative Commons “Attribution – Pas d'utilisation commerciale – Partage dans les mêmes conditions 4.0 International”.



TABLE DES MATIÈRES

1. Les rectangles	2
2. Les parallélogrammes	3
3. Les triangles avec un côté fixé	3
4. Les triangles sans contrainte	4
5. Les quadrilatères	7
6. Les polygones	9

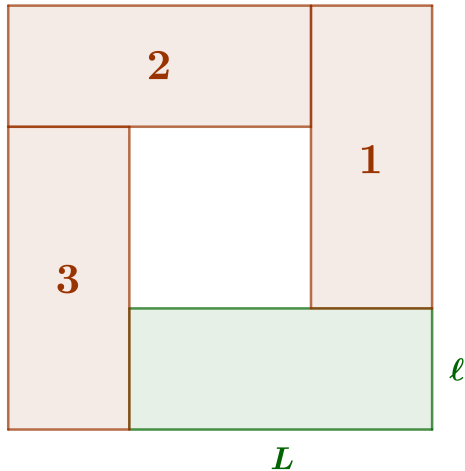
Ce document s'intéresse au classique problème de l'isopérimétrie plane, c'est-à-dire la recherche d'une surface plane maximisant son aire pour un périmètre fixé. Nous allons nous restreindre au cas élémentaire des polygones, tout en nous limitant à des preuves purement géométriques. La restriction est donc double, voire triple une fois les différentes démonstrations lues.

Pour ne pas alourdir le texte, on raisonnera modulo des isométries, positives ou non. Ainsi, on pourra parler « du carré équilatéral de côté c » , « du triangle équilatéral de côté c »... Indiquons aussi que le niveau de lecture de ce document, hors remarques, se veut très élémentaire.

1. LES RECTANGLES

Fait 1. *Considérons tous les rectangles de périmètre fixé p . Parmi tous ces rectangles, un seul est d'aire maximale, c'est le carré de côté $c = 0,25p$.*

Démonstration. Voici une preuve géométrique élémentaire s'appuyant sur le dessin suivant où les rectangles 1, 2 et 3 sont isométriques au rectangle vert étudié de dimension $L \times \ell$.



Le raisonnement tient alors aux constatations suivantes accessibles à un collégien.

- (1) Le grand carré a une aire supérieure ou égale à $4L\ell$, et même strictement si le rectangle initial n'est pas un carré.
- (2) Le grand carré a un périmètre égal à $4(L + \ell)$.
- (3) Une homothétie de rapport 0,5 donne un carré de périmètre $0,5 \times 4(L + \ell) = 2(L + \ell)$, et d'aire supérieure ou égale à $0,5^2 \times 4L\ell = L\ell$, avec inégalité stricte si le rectangle initial n'est pas un carré.

Donc, parmi tous les rectangles de périmètre $p = 2(L + \ell)$ et d'aire $L\ell$, le seul qui puisse avoir une aire maximale est le carré. Joli ! Non ? \square

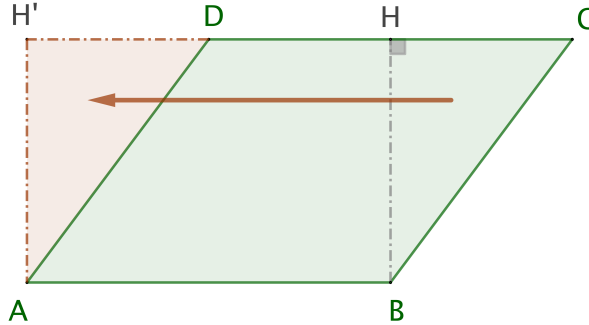
Remarque 1.1. *Une preuve courante est d'exprimer l'aire du rectangle comme un polynôme du 2^e degré en L par exemple. On obtient $L\ell = L(0,5p - L)$ qui est maximale en $L_M = 0,25p$ (moyenne des racines), d'où $\ell_M = 0,25p = L_M$.*

Remarque 1.2. *Au passage, nous avons pour $(L; \ell) \in (\mathbb{R}_+^*)^2$, $4L\ell \leq (L + \ell)^2$, c'est-à-dire $2L\ell \leq L^2 + \ell^2$, d'où $\sqrt{L\ell} \leq \sqrt{\frac{1}{2}(L^2 + \ell^2)}$, soit la comparaison des moyennes géométriques et quadratiques d'ordre 2.*

2. LES PARALLÉLOGRAMMES

Fait 2. Considérons tous les parallélogrammes de périmètre fixé p . Parmi tous ces parallélogrammes, un seul est d'aire maximale, c'est le carré de côté $c = 0,25p$.

Démonstration. Le calcul de l'aire d'un parallélogramme, voir le dessin ci-dessous, nous donne $\text{Aire}(ABCD) = \text{Aire}(ABHH')$ et $\text{Perim}(ABCD) \geq \text{Perim}(ABHH')$, avec égalité uniquement si $ABCD$ est un rectangle.



Via une homothétie de rapport $k = \frac{\text{Perim}(ABCD)}{\text{Perim}(ABHH')} \geq 1$, nous obtenons un rectangle de périmètre égal à p , et d'aire supérieure ou égale à $\text{Aire}(ABCD)$, avec égalité uniquement si $ABCD$ est un rectangle. Nous revenons à la situation du fait 1 qui permet de conclure très facilement. \square

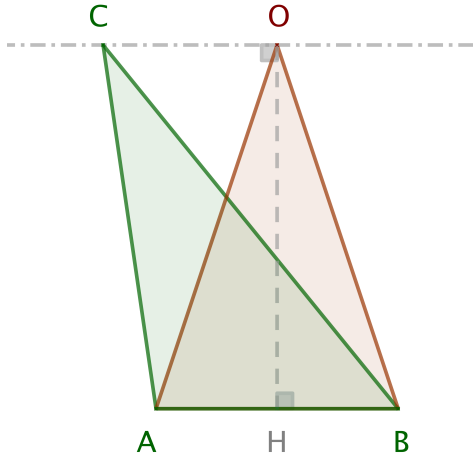
Remarque 2.1. La recherche d'un parallélogramme de périmètre minimal pour une aire fixée est le problème dual de l'isopérimétrie pour les parallélogrammes.

Remarque 2.2. Une méthode analytique devient pénible ici, car il faut par exemple prendre en compte l'angle au sommet A du parallélogramme. L'auteur préfère battre en retraite en clôturant cette remarque ici.

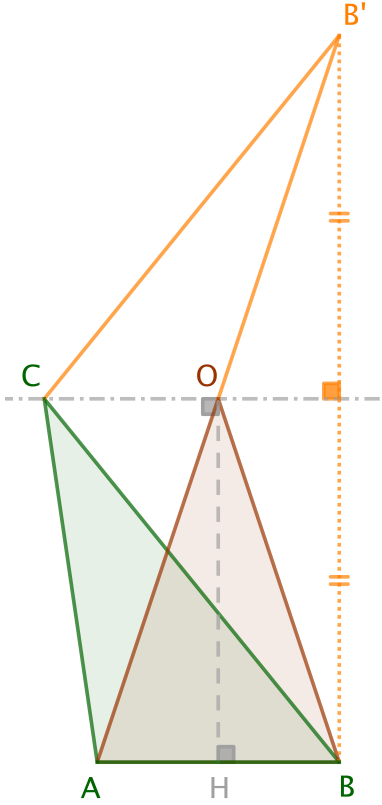
3. LES TRIANGLES AVEC UN CÔTÉ FIXÉ

Fait 3. Considérons tous les triangles de périmètre fixé, et ayant tous un côté en commun. Parmi tous ces triangles, un seul est d'aire maximale, c'est le triangle isocèle ayant pour base le côté commun.

Démonstration. Soit ABC un triangle de périmètre p , et fixons le côté $[AB]$. Pour tout point M sur la parallèle à (AB) passant par C , nous savons que $\text{Aire}(ABM) = \text{Aire}(ABC)$. Notons alors O le point sur cette parallèle tel que ABO soit isocèle en O .



Via une petite symétrie axiale, voir ci-dessous, il est ais  de noter que $\text{Perim}(ABC) \geq \text{Perim}(ABO)$, avec 茅galit  uniquement si ABC est isoc le en C .



Via une dilatation « *verticale* » de rapport $r = \frac{\text{Perim}(ABC)}{\text{Perim}(ABO)} \geq 1$, on obtient finalement un triangle isoc le ABO' de p rim tre p , et qui v rifie $\text{Aire}(ABO') \geq \text{Aire}(ABC)$, avec 茅galit  uniquement si ABC est isoc le en C . Contrat rempli!¹ \square

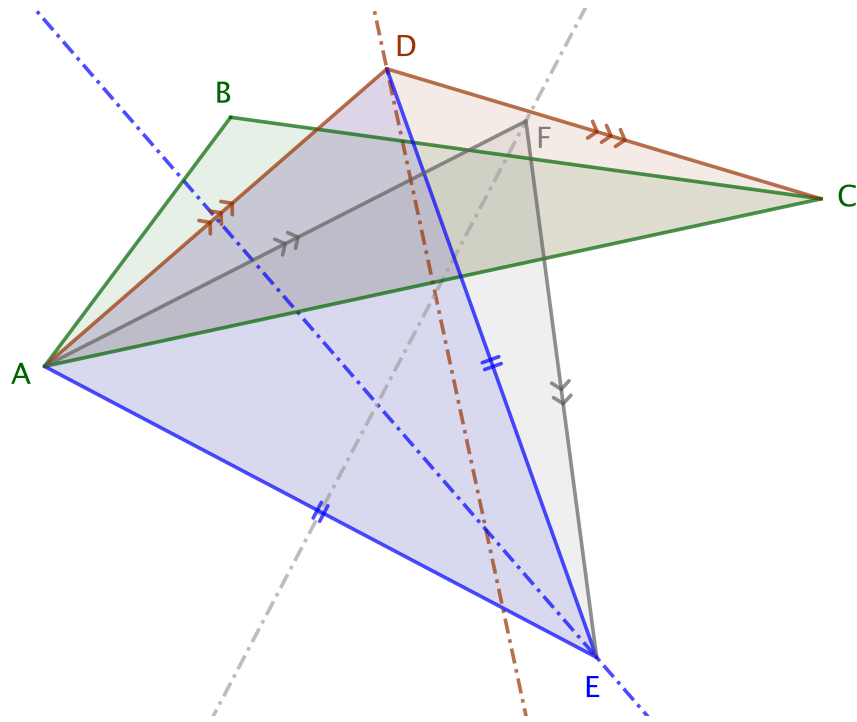
4. LES TRIANGLES SANS CONTRAINTE

Fait 4. *Consid rons tous les triangles de p rim tre fix  p . Parmi tous ces triangles, un seul est d'aire maximale, c'est le triangle quilat ral de c t  $c = \frac{1}{3}p$.*

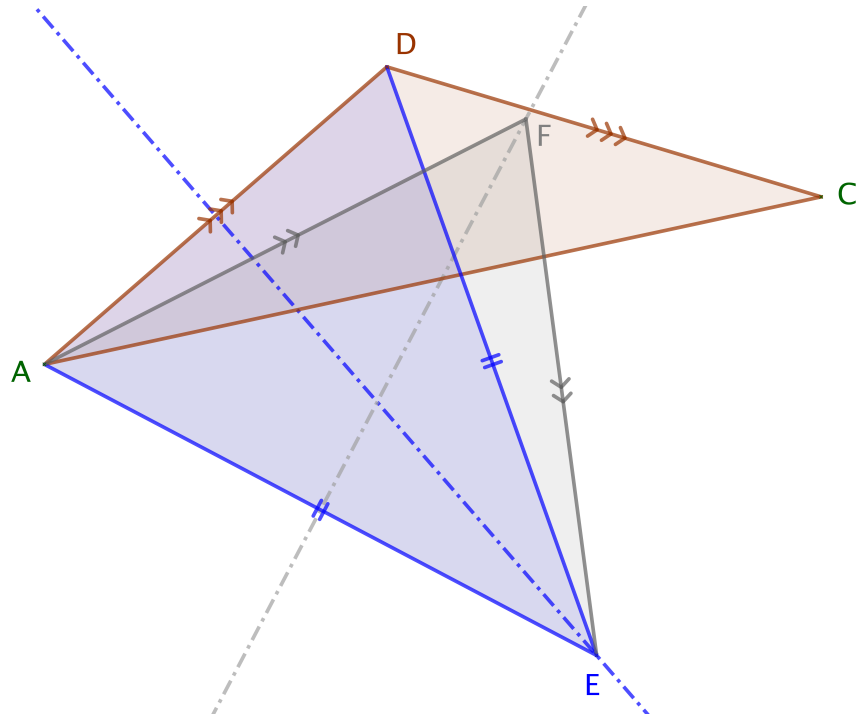
Demonstration. L'id e est la suivante : nous allons d montrer qu'une application it rative du fait 3 donne 脿 la limite le triangle quilat ral d'aire maximale, et ceci avec une vitesse de convergence exponentielle.² Partons donc d'un triangle ABC quelconque, mais de p rim tre p , le fait 3 nous donne successivement les triangles ACD , ADE et AEF isoc les en D , E et F respectivement, ayant tous pour p rim tre p , et ceci avec des aires de plus en plus grandes. Le dessin suivant am ne 脿 conjecturer qu'en poursuivant le proc d  pour avoir ensuite un triangle AFG isoc le en G ..., nous aboutirons « *  la limite* » 脿 un triangle quilat ral.

1. La remarque 4.3 explique comment employer la m thode des extrema li s. Les arguments fournis 脿 cet endroit s'adaptent facilement au cas des triangles de base fix e.

2. Ceci ne va n cessiter que l'emploi de propri t s simples de l'ensemble des r eels.



Le passage d'un triangle quelconque ABC au triangle ACD isocèle en D nous amène à nous concentrer sur ce que donne notre procédé d'agrandissement d'aire à périmètre fixé pour des triangles isocèles. Dans la suite, nous allons nous appuyer sur le schéma suivant.



Voici ce que nous pouvons affirmer.

- (1) Considérons ACD isocèle en D tel que $AC > AD$. Comme $AC + AD + DC = p$, nous avons $AC > \frac{1}{3}p > AD$. Dès lors, on doit avoir ensuite $AD < \frac{1}{3}p < AE$, car $AD + DE + AE = p$ et $AD = AE$.

- (2) Considérons ADE isocèle en E tel que $AD < AE$ en oubliant le point précédent.
 Comme $AD + DE + AE = p$, nous avons $AD < \frac{1}{3}p < AE$. Dès lors, on doit avoir ensuite $AE > \frac{1}{3}p > AF$, car $AE + AF + EF = p$ et $AF = EF$.
- (3) Les deux points précédents démontrent que notre procédé n'arrivera jamais en un nombre fini d'étapes à un triangle équilatéral si l'on part d'un triangle isocèle non équilatéral.³
- (4) Nous devons quantifier les écarts à la mesure « limite » $p' = \frac{1}{3}p$.
- Dans ADC , posant $AD = p' - \epsilon$, nous avons $AC = p' + 2\epsilon$.
 - Dans ADE , posant $AE = p' + \epsilon'$, nous avons $AD = p' - 2\epsilon'$.
 - Donc $\epsilon' = \frac{1}{2}\epsilon$.

Nous avons donc une convergence exponentielle des longueurs des côtés vers $p' = \frac{1}{3}p$.
 Et tout ceci via de la géométrie et de l'analyse élémentaires !

□

Remarque 4.1. La preuve élémentaire classique commence par noter que si ABC n'est pas équilatéral, en particulier il n'est pas isocèle en A , donc, selon le fait 3, il existe un triangle isocèle de base $[BC]$, de même périmètre et d'aire strictement plus grande. Ceci nous prouve qu'un triangle maximisant l'aire à périmètre fixé ne peut être qu'équilatéral. Cette condition nécessaire est-elle suffisante ? Ce sera vrai si nous savons qu'au moins un triangle maximisant l'aire à périmètre fixé existe, puisque, dans ce cas, un tel triangle ne pourra être qu'équilatéral.⁴ Nous voilà obligé de faire appel aux techniques d'analyse.

- On munit le plan d'un repère orthonormé $(O ; \vec{i}, \vec{j})$.
- Les triangles ABC tels que $\text{Perim}(ABC) = p$ sont représentés en posant $A(0;0)$, $B(AB;0)$ et $C(x_C; y_C)$ avec $y_C \geq 0$. Un triangle peut donc avoir trois représentations, mais peu importe. De plus, on accepte les triangles dégénérés pour lesquels nous avons $y_C = 0$ dans notre représentation. Nous notons alors $\mathcal{T} \subset \mathbb{R}^3$ l'ensemble des triplets $(x_B; x_C; y_C)$ ainsi obtenus.
- Il est facile de justifier que \mathcal{T} est fermé dans \mathbb{R}^3 . De plus, \mathcal{T} est borné car x_B , x_C et y_C le sont. En résumé, \mathcal{T} est un compact de \mathbb{R}^3 .
- La fonction $s : (x_B; x_C; y_C) \in \mathcal{T} \mapsto 0,5x_BYC \in \mathbb{R}_+$ est la fonction aire des triangles représentés. Par continuité et compacité, on sait que s admet un maximum sur \mathcal{T} . Mission accomplie !

Remarque 4.2. La formule de Héron donne qu'un triangle de côtés a , b et c , et de demi-périmètre $s = 0,5p$, possède une aire égale à $\sqrt{s(s-a)(s-b)(s-c)}$. La comparaison des moyennes géométriques et arithmétiques d'ordre 3 nous donne alors une solution algébrique efficace, puisque de $\sqrt[3]{(s-a)(s-b)(s-c)} \leq \frac{1}{3}((s-a) + (s-b) + (s-c))$, nous déduisons $s(s-a)(s-b)(s-c) \leq \frac{1}{27}s^4$, puis $\sqrt{s(s-a)(s-b)(s-c)} \leq \frac{p^2}{12\sqrt{3}}$ où $\frac{p^2}{12\sqrt{3}}$ est l'aire du triangle équilatéral de périmètre p .

Remarque 4.3. L'aire d'un triangle étant positive ou nulle, nous pouvons chercher à maximiser son carré $f(a; b; c) = s(s-a)(s-b)(s-c)$, sous la contrainte $2s = a + b + c$ où $s > 0$ est constant. Notant $g(a; b; c) = a + b + c - 2s$, la contrainte s'écrit $g(a; b; c) = 0$.

3. Et plus généralement si le procédé ne commence pas avec une base de longueur $\frac{1}{3}p$.

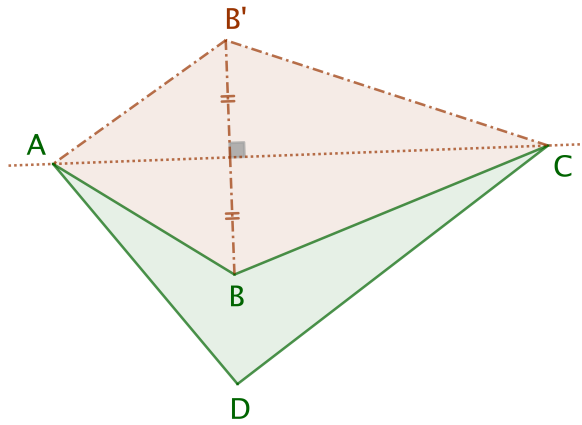
4. Sans cette existence, il se pourrait, par exemple, que le triangle équilatéral soit à part, et que les autres aient des aires augmentant indéfiniment de leur côté, sans mauvais jeu de mots, en dépassant celle du triangle équilatéral qui serait une sorte de maximum local isolé.

- Si un extremum existe, $\exists \lambda \in \mathbb{R}$ tel que $\partial_a f = \lambda \partial_a g$, $\partial_b f = \lambda \partial_b g$ et $\partial_c f = \lambda \partial_c g$ d'après la méthode des extrema liés.
- Donc $-s(s-b)(s-c) = -s(s-a)(s-c) = -s(s-a)(s-b)$, et par conséquent $(s-b)(s-c) = (s-a)(s-c) = (s-a)(s-b)$.
- Les cas $s = a$, $s = b$ et $s = c$ donnent $f(a; b; c) = 0$.
- Le cas $[s \neq a, s \neq b \text{ et } s \neq c]$ n'est envisageable que si $a = b = c = \frac{p}{3}$, ceci impliquant $f(a; b; c) = \frac{1}{16}p\left(\frac{p}{3}\right)^3 = \left(\frac{p^2}{12\sqrt{3}}\right)^2 > 0$.
- En résumé, l'existence d'un maximum implique que ce maximum corresponde au cas du triangle équilatéral.
- Il reste à démontrer qu'un tel maximum existe pour pouvoir conclure : ceci est facile à justifier en considérant l'ensemble compact $[0; 2s]^3$ de \mathbb{R}^3 .

5. LES QUADRILATÈRES

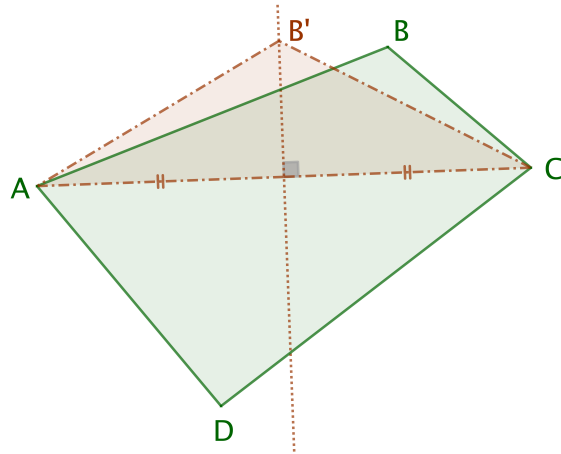
Fait 5. Considérons tous les quadrilatères de périmètre fixé p . Parmi tous ces quadrilatères, un seul est d'aire maximale, c'est le carré de côté $c = 0,25p$.

Démonstration. La figure suivante montre que pour tout quadrilatère $ABCD$ non convexe en B , et de périmètre p , il existe un quadrilatère convexe $AB'CD$ de périmètre p , et tel que $\text{Aire}(AB'CD) > \text{Aire}(ABCD)$. Notre recherche doit donc continuer dans l'ensemble des quadrilatères convexes de périmètre p . De tels quadrilatères \mathcal{Q} sont tels que pour toute paire de points M et N de la surface associée à \mathcal{Q} , le segment $[MN]$ est contenu dans cette surface (cette définition se généralise aux polygones).

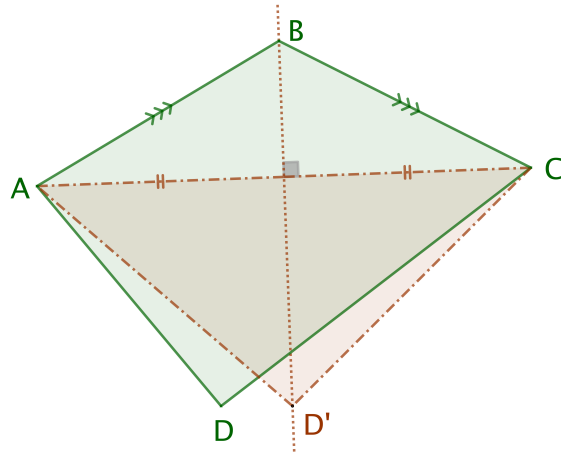


Si un quadrilatère convexe $ABCD$ de périmètre p est tel que $AB \neq BC$, le fait 3 nous donne un quadrilatère convexe $AB'CD$ de périmètre p ,⁵ et vérifiant aussi $AB' = B'C$ et $\text{Aire}(AB'CD) > \text{Aire}(ABCD)$ comme le montre la figure ci-après. On se ramène donc au cas d'un quadrilatère convexe $ABCD$ de périmètre p avec en plus $AB = BC$.

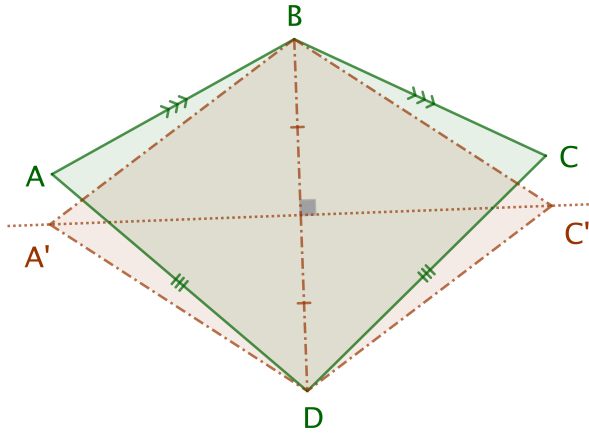
5. Noter que $\text{Perim}(AB'CD) = \text{Perim}(AB'C) + \text{Perim}(ACD) - 2AC$.



La méthode précédente appliquée au sommet D d'un quadrilatère convexe $ABCD$ de périmètre p tel que $AB = BC$ et $AD \neq DC$ permet en fait de se ramener au cas d'un cerf-volant $ABCD$ de périmètre p , avec $AB = BC$ et $AD = DC$, voir ci-dessous.



En supposant que notre cerf-volant ne soit pas un losange, le fait 3 appliqué aux sommets A et C fournit un losange $A'BC'D$ de périmètre p , et tel que $\text{Aire}(A'BC'D) > \text{Aire}(ABCD)$. En effet, nous avons $p = 2(AB+AD)$ et $\text{Perim}(A'BD) = \text{Perim}(ABD)$, donc $A'B = A'D = 0,25p$, et de même, nous obtenons $C'B = C'D = 0,25p$.



Pour conclure, il suffit d'appliquer le fait 2, puisque tout losange est un parallélogramme. Que la géométrie est belle ! \square

6. LES POLYGONES

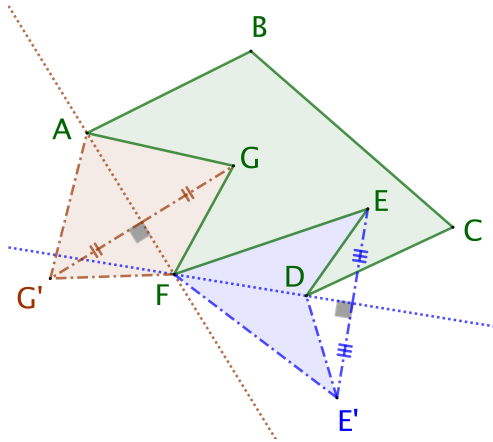
La technique est similaire au cas du triangle : nous allons obtenir une condition nécessaire, puis nous verrons que cette condition suffit via des arguments d'analyse. Cette dernière section nécessite plus de technicité.

Définition 1. Un « n -gone » désigne un polygone à n côtés avec $n \geq 3$.

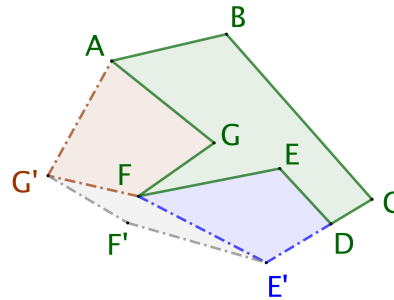
Définition 2. Un « n -isogone » désigne un n -gone dont tous les côtés sont de mesure égale.

Fait 6. Si un n -gone \mathcal{P} n'est pas convexe, alors on peut construire un n -gone convexe \mathcal{P}' tel que $\text{Perim}(\mathcal{P}') = \text{Perim}(\mathcal{P})$ et $\text{Aire}(\mathcal{P}') > \text{Aire}(\mathcal{P})$.

Démonstration. Ici, il ne faut pas être expéditif en indiquant que la preuve du fait 5 se généralise sans aucun souci. En effet, avec $n > 4$, nous pouvons avoir plusieurs points de non-convexité, et les éliminer comme nous l'avons fait pour le quadrilatère n'est pas immédiat : dans la figure suivante, l'élimination des deux points de non convexité G et E de l'heptagone $ABCDEFG$ nous amène à un nouvel heptagone $ABCDE'FG'$ ayant lui aussi deux points de non-convexité F et D ! Donc, rien n'empêche, a priori, d'avoir une suite de constructions n'aboutissant jamais à un heptagone convexe de même périmètre que celui de $ABCDEFG$, et d'aire strictement supérieure à celle de $ABCDEFG$.⁶



Pire, on peut perdre des côtés lors de la construction comme dans l'exemple suivant où C , D et E' sont alignés.

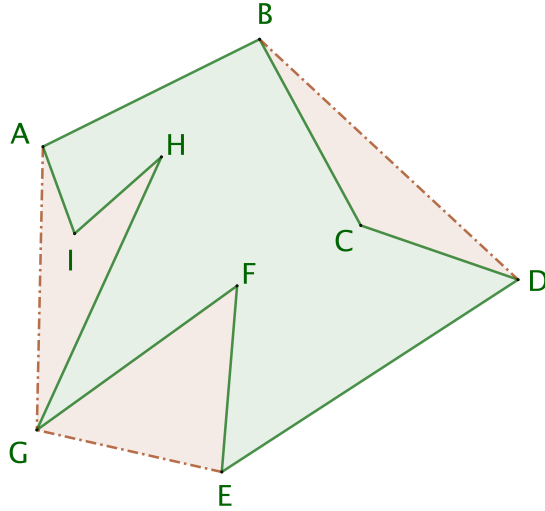


Laissons de côté cette construction pour nous concentrer sur la classique enveloppe convexe⁷ du n -gone de départ. Par exemple, l'ennéagone $ABCDEFGHI$ non convexe ci-dessous admet

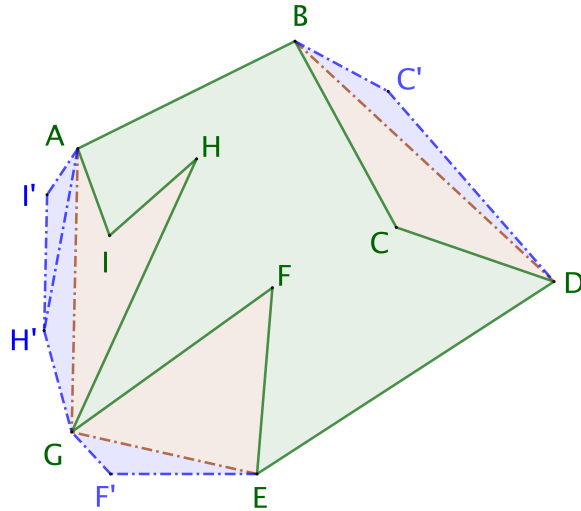
6. L'auteur est convaincu que le procédé aboutira en un nombre fini d'étapes à un polygone convexe, mais il ne l'a pas démontré pour le moment.

7. C'est le plus petit polygone convexe « contenant » le n -gone considéré, où « petit » est relatif à l'inclusion.

le pentagone $ABDEG$ pour enveloppe convexe : le périmètre diminue et l'aire augmente, ce qui est utile, mais malheureusement le nombre de côtés change.



Une idée simple, que nous allons formaliser rigoureusement juste après, consiste à ajouter les sommets manquants suffisamment près des côtés de l'enveloppe convexe afin de ne pas trop augmenter le périmètre pour le laisser inférieur, ou égal, à celui du n -gone non convexe initial. Le dessin suivant illustre cette idée.



Considérons donc un n -gone non convexe \mathcal{P} , de périmètre p .

- XXX
- XXX
- XXX
- XXX

□

Fait 7. Si un n -gone convexe \mathcal{P} n'est pas un n -isogone, alors on peut construire un n -gone \mathcal{P}' tel que $\text{Perim}(\mathcal{P}') = \text{Perim}(\mathcal{P})$ et $\text{Aire}(\mathcal{P}') > \text{Aire}(\mathcal{P})$.

Démonstration. pas be soin d'isocèle, on se place entre prolongement côté précédente et coté du traingle non isocèle et c'est réglé car périmtre dimnuer à aire constante !

Considérons un n -gone convexe \mathcal{P} , de périmètre p , qui n'est pas un n -isogone. \mathcal{P} admet donc un triplet de sommets consécutifs A , B et C tels que $AB \neq AC$ (dans le cas contraire, on obtient de proche en proche un n -isogone). La construction vue dans la preuve du fait 3 permet de conclure sans effort ou presque. En effet, XXX si un sommet mangé, on fait de nouveau mini perturb pas supérieur à la pert de périmètre pour passer à iscoèle avant dilatation axiale non convexité pas gpenante car géré par le fait 6

- XXX
- XXX
- XXX
- XXX

□

Fait 8. Si un n -isogone convexe \mathcal{P} possède deux angles de mesures différentes, alors il existe un n -gone \mathcal{P}' tel que $\text{dreg}(\mathcal{P}') > \text{dreg}(\mathcal{P})$, $\text{Perim}(\mathcal{P}') = \text{Perim}(\mathcal{P})$ et $\text{Aire}(\mathcal{P}') > \text{Aire}(\mathcal{P})$.

Démonstration. wikipedia ok ? tjrs le pb du côté qui disparait !

- XXX
- XXX
- XXX
- XXX

□

Fait 9. Soit $n \in \mathbb{N}_{\geq 3}$ un naturel fixé. Considérons tous les n -gones de périmètre fixé. Parmi tous ces n -gones, un seul est d'aire maximale, c'est le n -gone régulier.

Démonstration. on a cond necess vai les faits

CS ca un max existe comme pour les triangles !!

readc fausse refaire le chemind es restrictions !!!

Tout a déjà été dit, car d'après les faits précédents, un n -gone \mathcal{P} non régulier ne peut pas maximiser son aire à périmètre fixé, et par conséquent seul le n -gone régulier maximise l'aire à périmètre fixé. Chapeau bas à vous, Géométrie et Analyse réunies... □